

# ОБ УСТОЙЧИВОСТИ КОГЕРЕНТНОГО СОСТОЯНИЯ БОЗЕ-ГАЗА ДВУХУРОВНЕВЫХ АТОМОВ В РЕЗОНАНСНОМ ЛАЗЕРНОМ ПОЛЕ ПРИ $T = 0$

*Л. А. Максимов, А. В. Параскевов\**

*Российский научный центр «Курчатовский институт»  
123182, Москва, Россия*

Поступила в редакцию 30 июня 2005 г.

Показано, что при нулевой температуре двухуровневый бозе-газ в сильном резонансном поле лазера является смесью двух конденсатов с определенным соотношением плотностей. Установлены критерии устойчивости стационарных состояний такой системы относительно роста амплитуд квазибоголюбовских элементарных возбуждений бозе-газа. Показано, что кроме обычной акустической моды существует мода со щелью, пропорциональной амплитуде поля лазера. Учет неидеальности газа при определенных условиях приводит к неустойчивости и распаду конденсатов.

PACS: 03.75.Kk, 03.75.Mn

## 1. ВВЕДЕНИЕ

После экспериментальной реализации бозе-эйнштейновской конденсации газа [1], а затем и бинарной смеси бозе-газов [2] в магнитных ловушках при сверхнизких температурах адекватное теоретическое описание свойств таких систем несомненно является востребованным. Это подтверждает множество теоретических работ по классификации [3] всех состояний бозе-смеси (в приближении Томаса–Ферми) и ее динамике (длинноволновые коллективные возбуждения [4], метастабильные состояния [5], пространственное расслоение компонентов смеси [6]). В большинстве работ смесь описывается двумя уравнениями Гросса–Питаевского, а конкретное различие между компонентами смеси не рассматривается. Представление компонент смеси как атомов в основном и возбужденном состояниях использовано в работах по изучению рассеяния [7] и поглощения [8] излучения лазера бозе-конденсатом. Однако вопрос о существовании стационарного ко-герентного состояния взаимодействующей системы «смесь + лазерное поле» не рассматривался. Настоящая работа посвящена теоретическому исследованию этого вопроса: определено равновесное отноше-

ние плотностей конденсатов в зависимости от амплитуды резонансного лазерного поля и близости к насыщению, найден спектр элементарных квазибоголюбовских возбуждений и установлены критерии устойчивости системы двух конденсатов в лазерном поле с учетом импульса отдачи и неидеальности газа.

Рассмотрим слабонеидеальный бозе-газ двухуровневых атомов, находящийся в резонансном лазерном поле большой интенсивности при  $T = 0$ . Монохроматическое поле лазера, действуя на бозе-конденсат атомов в основном состоянии (надконденсатными частицами пренебрегаем), переводит некоторую часть атомов в дипольно-возбужденное состояние, причем каждый возбужденный атом движется с одинаковой скоростью, определяемой импульсом отдачи. Если интенсивность лазерного поля велика настолько, что можно пренебречь спонтанным распадом возбужденных атомов по сравнению с вынужденным испусканием, то за время, малое по сравнению со временем между столкновениями возбужденных атомов с квазичастицами конденсата невозбужденных атомов, образуется макроскопически большое число дипольно-возбужденных атомов, движущихся с одинаковой скоростью, и возникает второй бозе-конденсат. Мы не будем заниматься

---

\*E-mail: paraskevov@kurm.polyn.kiae.su

описанием процесса образования этого конденсата и примем, что состояние с двумя конденсатами уже сформировано, условно полагая, что естественная ширина линии дипольного перехода  $\gamma \approx 0$  (критерий малости  $\gamma$  приведен в разд. 2). Наконец, в целях максимальной простоты изложения рассматриваемого эффекта атомная система считается пространственно-однородной.

## 2. ОСНОВНОЕ СОСТОЯНИЕ ДВУХУРОВНЕВОГО ГАЗА В ПОЛЕ ЛАЗЕРА

Гамильтониан системы  $N_a$  невозбужденных атомов и  $N_b$  дипольно-возбужденных атомов в поле лазера (объем системы  $V = 1$ ,  $\hbar = 1$ ) имеет вид

$$\begin{aligned} H_{tot} &= H_{gas} + H_{int} + H_{ph}, \\ H_{gas} &= H_a + H_b + H_{ab}, \\ H_a &= \sum_p \left( \frac{p^2}{2m} \right) \hat{a}_p^+ \hat{a}_p + \\ &+ \sum_{p_1+p_2=p_3+p_4} \frac{1}{2} U_{aa} \hat{a}_{p_1}^+ \hat{a}_{p_2}^+ \hat{a}_{p_3} \hat{a}_{p_4}, \\ H_b &= \sum_p \left( \frac{p^2}{2m} + \omega_0 \right) \hat{b}_p^+ \hat{b}_p + \\ &+ \sum_{p_1+p_2=p_3+p_4} \frac{1}{2} U_{bb} \hat{b}_{p_1}^+ \hat{b}_{p_2}^+ \hat{b}_{p_3} \hat{b}_{p_4}, \\ H_{ab} &= \sum_{p_1+p_2=p_3+p_4} U_{ab} \hat{a}_{p_1}^+ \hat{b}_{p_2}^+ \hat{b}_{p_3} \hat{a}_{p_4}. \end{aligned} \quad (1)$$

Здесь  $\hat{a}_p$ ,  $\hat{b}_p$  — операторы уничтожения атома с импульсом  $\mathbf{p}$  в основном и дипольно-возбужденном состояниях, соответственно,  $U_{ik} = 4\pi a_{ik}/m$  — параметры парного взаимодействия частиц, выраженные через соответствующие длины рассеяния. Чтобы исключить проблему коллапса, полагаем  $U_{ik} > 0$ . Взаимодействие газа с одномодовым полем лазера описываем гамильтонианом

$$H_{int} = \sum_p (g_k \hat{c}_k^+ \hat{a}_p^+ \hat{b}_{p+k} + g_k^* \hat{b}_{p+k}^+ \hat{a}_p \hat{c}_k), \quad (2)$$

где  $\hat{c}_k$ ,  $\hat{c}_k^+$  — операторы поглощения и рождения фотона с волновым вектором  $\mathbf{k}$  и частотой  $\omega_k$ . Для простоты предполагаем, что излучение лазера линейно поляризовано вдоль единичного вектора поляризации  $\mathbf{e}_k$ . Константа взаимодействия атомов с лазерным полем имеет стандартный вид (чтобы упростить запись, в матричном элементе взаимодействия

стия отдельного атома с полем опущен множитель  $\exp(i\mathbf{k} \cdot \mathbf{r})$ ),

$$|g_k|^2 = 2\pi\omega_k |\mathbf{e}_k \cdot \mathbf{d}|^2,$$

и связана с естественной шириной линии возбужденного уровня отдельного атома через дипольный матричный элемент  $d$ ,  $\gamma = (4/3)k_0^3 d^2$ , где  $k_0 = \omega_0/c$ .

Наконец, гамильтониан свободных фотонов имеет вид

$$H_{ph} = \omega_k \hat{c}_k^+ \hat{c}_k.$$

Динамика системы описывается уравнениями

$$\begin{aligned} i \frac{\partial \hat{a}_p}{\partial t} &= \frac{p^2}{2m} \hat{a}_p + \sum_{p+p_2=p_3+p_4} U_{aa} \hat{a}_{p_2}^+ \hat{a}_{p_3} \hat{a}_{p_4} + \\ &+ \sum_{p_1+p=p_3+p_4} U_{ab} \hat{b}_{p_1}^+ \hat{b}_{p_3} \hat{a}_{p_4} + g_k \hat{c}_k^+ \hat{b}_{p+k}, \\ i \frac{\partial \hat{b}_p}{\partial t} &= \left( \frac{p^2}{2m} + \omega_0 \right) \hat{b}_p + \\ &+ \sum_{p+p_2=p_3+p_4} U_{bb} \hat{b}_{p_2}^+ \hat{b}_{p_3} \hat{b}_{p_4} + \\ &+ \sum_{p_1+p=p_3+p_4} U_{ab} \hat{a}_{p_1}^+ \hat{b}_{p_3} \hat{a}_{p_4} + g_k^* \hat{a}_{p-k} \hat{c}_k, \\ i \frac{\partial \hat{c}_k}{\partial t} &= \omega_k \hat{c}_k + \sum_p g_k \hat{a}_p^+ \hat{b}_{p+k}. \end{aligned} \quad (3)$$

Рассмотрим систему, которая состоит из трех когерентных подсистем — двух конденсатов, образованных атомами в основном и дипольно-возбужденном состояниях, и поля лазера. Найдем основное состояние этой системы, пренебрегая надконденсатными частицами. В дальнейшем удобно иметь дело не с операторами, а с обычными комплексными величинами, поэтому целесообразно использовать представление когерентных состояний. Будем называть когерентным состоянием вектор  $(|0\rangle)$  — прямое произведение всех пустых атомных и фотонных состояний)

$$|a\rangle = \exp \left( \sum_p a_p \hat{a}_p^+ \right) |0\rangle,$$

который можно рассматривать как прямое произведение всех собственных векторов  $|a_p\rangle$ , таких что  $\hat{a}_p |a_p\rangle = a_p |a_p\rangle$ ,  $\langle a_p | \hat{a}_p^+ = \langle a_p | a_p^*$ , относящихся к состояниям с разными импульсами. Для дипольно-возбужденных атомов и фотонов когерентные состояния определяются аналогично:

$$|b\rangle = \exp \left( \sum_p b_p \hat{b}_p^+ \right) |0\rangle, \quad |c\rangle = \exp(c_k \hat{c}_k^+) |0\rangle.$$

С учетом отдачи конденсаты атомов в основном и дипольно-возбужденном состояниях должны двигаться относительно друг друга. Обозначим импульсы атомов, принадлежащих этим конденсатам, соответственно  $\mathbf{p}_a$  и  $\mathbf{p}_b = \mathbf{p}_a + \mathbf{k}$ . Если газ как целое поконится, то

$$\mathbf{p}_a = -\frac{\mathbf{k}N_b}{N_a + N_b}.$$

Умножив справа каждое из уравнений (3) на вектор  $|a\rangle |b\rangle |c\rangle$ , получим систему из трех уравнений для комплексных полей  $a_{p_a}, b_{p_b}, c_k$ :

$$\begin{aligned} i\frac{\partial a_{p_a}}{\partial t} &= \left( \frac{p_a^2}{2m} + U_{aa}N_a + U_{ab}N_b \right) a_{p_a} + g_k c_k^* b_{p_b}, \\ i\frac{\partial b_{p_b}}{\partial t} &= \left( \frac{p_b^2}{2m} + \omega_0 + U_{bb}N_b + U_{ab}N_a \right) b_{p_b} + \\ &\quad + g_k^* a_{p_a} c_k, \\ i\frac{\partial c_k}{\partial t} &= \omega_k c_k + g_k a_{p_a}^* b_{p_b}. \end{aligned} \quad (4)$$

Здесь и далее мы рассматриваем газ в конденсатном состоянии, поэтому  $N_a$  и  $N_b$  принципиально являются макроскопически большими величинами, т. е.  $N_a, N_b \gg 1$ . Стационарное решение ищем в виде

$$\begin{aligned} a_{p_a} &= a \exp(-i\varepsilon_a t), \\ b_{p_b} &= b \exp(-i\varepsilon_b t), \quad c_k = c \exp(-i\omega t). \end{aligned} \quad (5)$$

Заметим, что стационарное решение (5) имеет место только при условии точного резонанса между перенормированными частотой лазера и разностью энергий возбужденного и основного состояний атома:

$$\omega = \varepsilon_b - \varepsilon_a. \quad (6)$$

Из системы (4) получаем

$$\begin{aligned} \varepsilon_a a &= \Omega_a a + g_k c^* b, \\ \varepsilon_b b &= \Omega_b b + g_k^* a c, \\ (\varepsilon_b - \varepsilon_a) c &= \omega_k c + g_k a^* b. \end{aligned} \quad (7)$$

Здесь введены обозначения

$$\begin{aligned} \Omega_a &= \frac{p_a^2}{2m} + U_{aa}N_a + U_{ab}N_b, \\ \Omega_b &= \frac{p_b^2}{2m} + \omega_0 + U_{ab}N_a + U_{bb}N_b, \\ N_a &= |a|^2, \quad N_b = |b|^2. \end{aligned}$$

Неизвестными величинами являются  $\varepsilon_a$ ,  $\varepsilon_b$  и  $N_a$  (либо  $N_b$ , поскольку считаем, что  $N = N_a + N_b = \text{const}$  — заданная полная плотность газа). Третье уравнение (7) определяет перенормировку лазерной частоты, обусловленную дипольными переходами. Этой перенормировкой можно пренебречь, если интенсивность лазерного поля достаточно велика

(формально это значит, что  $H_{ph} \gg H_{int}$ , где подразумеваются матричные элементы), так что

$$N_c = |c|^2 \gg \frac{|g_k|^2 N_a N_b}{\omega_k^2}. \quad (8)$$

Из этого неравенства непосредственно следует условие малости естественной ширины линии:

$$\gamma \ll \omega_k \frac{N_c k_0^3}{N_a N_b}. \quad (9)$$

Неравенство (8) целесообразно сравнить с исходно подразумеваемым условием достаточно высокой интенсивности поля для того, чтобы пренебречь спонтанными распадами по сравнению с индуцированными переходами. Во введенных обозначениях это условие имеет вид

$$N_c \gg \frac{2}{\pi} k^3. \quad (10)$$

Заметим, что с учетом резонансного приближения ( $|\omega_k - \omega_0| \ll \omega_k, \omega_0$ ) неравенство (10) содержит в себе известное в лазерной физике условие насыщения заселенности возбужденного состояния, при котором атом с равной вероятностью находится в основном и в возбужденном состояниях (при этом  $N_a = N_b = N/2$ ), количественно оно выражается как

$$|\omega_k - \omega_0| \sim \gamma \ll |A|, \quad (11)$$

где  $|A| = |g_k| \sqrt{N_c}$  в стандартной терминологии является частотой Раби. Из (11) получаем

$$\gamma \ll \omega_k \frac{N_c}{k_0^3}. \quad (12)$$

Из сопоставления условий (9) и (12) видно, что они эквивалентны друг другу, если  $k_0^3 \geq N$ , т. е. когда на один атом приходится объем, больший, чем  $\lambda_0^3$ . С учетом (10) качественно это означает, что на один атом приходится много фотонов. Заметим, однако, что условие (11) теряет смысл в случае, когда перенормировка частоты перехода больше, чем естественная ширина линии отдельного атома,  $|\varepsilon_b - \varepsilon_a - \omega_0| > \gamma$ . В этом случае, по-видимому, под  $\gamma$  нужно понимать суммарную естественную ширину линии с учетом столкновительного уширения (расчет соответствующего вклада сделан в работе [8]).

В дальнейшем будем считать, что неравенство (9) выполнено, и полагать  $\omega \approx \omega_k$ . Обозначив  $\varepsilon = \varepsilon_a$  и переобозначив  $\Omega_b \rightarrow \Omega_b - \omega$ , из уравнений (7) получим

$$(\varepsilon - \Omega_a)(\varepsilon - \Omega_b) = |A|^2.$$

Отсюда

$$\varepsilon = \frac{1}{2} \left[ (\Omega_a + \Omega_b) + \eta \sqrt{\delta\omega^2 + 4|A|^2} \right], \quad \eta = \pm 1. \quad (13)$$

Здесь величина

$$\begin{aligned} \delta\omega = \Omega_a - \Omega_b &= \omega - \omega_0 + \frac{k^2}{2m} \left( \frac{N_b - N_a}{N_a + N_b} \right) + \\ &+ U_{aa}N_a - U_{bb}N_b + U_{ab}(N_b - N_a) \end{aligned}$$

играет роль отклонения от полного насыщения. Связь между амплитудами конденсаторов определяется из (7) как

$$b = \left[ -\frac{\delta\omega}{2|A|} + \eta \sqrt{\left( \frac{\delta\omega}{2|A|} \right)^2 + 1} \right] a.$$

Отсюда следует, что система в поле лазера находится в одном из состояний с фиксированным (при заданном знаке произведения  $\eta\delta\omega$ ) соотношением плотностей конденсаторов:

$$N_b = \left[ -\eta \frac{\delta\omega}{2|A|} + \sqrt{\left( \frac{\delta\omega}{2|A|} \right)^2 + 1} \right]^2 N_a. \quad (14)$$

Когда  $\delta\omega = 0$ , резонансная частота поля равна

$$\omega = \omega_0 + \frac{1}{2}(U_{bb} - U_{aa})N,$$

поэтому при  $U_{aa} \approx U_{bb}$  в качестве внешнего параметра, характеризующего отклонение от насыщения, естественно взять разность  $\omega - \omega_0$ . Введем безразмерные переменные:

$$\begin{aligned} x &= \frac{\omega - \omega_0}{2|A|}, \quad y = \frac{N_b - N_a}{N}, \\ z &\approx \frac{1}{2|A|} \left[ \frac{k^2}{2m} + (U_{ab} - U_{aa})N \right], \end{aligned} \quad (15)$$

и запишем уравнение (14) в виде

$$1+y = \left( -\eta(x+zy) + \sqrt{(x+zy)^2 + 1} \right)^2 (1-y). \quad (16)$$

Уравнение (16) есть уравнение 4-й степени относительно  $y(x)$ , но решение этого уравнения относительно обратной функции  $x(y)$  имеет простой вид:

$$x = - \left( z + \frac{\eta}{\sqrt{1-y^2}} \right) y. \quad (17)$$

Из этого выражения следует, что существует симметрия относительно одновременной замены

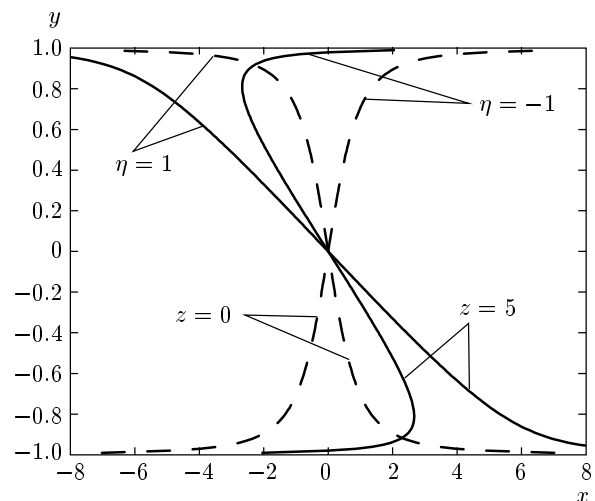


Рис. 1. Зависимость относительной разности населенности,  $y$ , от отклонения  $x$  от полного насыщения

$x \rightarrow -x$ ,  $y \rightarrow -y$ , что является следствием симметрии гамильтонiana системы относительно замены  $\hat{a} \leftrightarrow \hat{b}$  (такая симметрия между «верхом» и «низов» является, в свою очередь, следствием предположения о малости  $\gamma$ ). Отметим, что нет симметрии решений относительно изменения знака  $\eta$ . Для ветви  $\eta = +1$  величина  $y(x)$  — это взаимооднозначная функция  $x$ , а для  $\eta = -1$  функция  $y(x)$  при  $z > 1$  в интервале

$$|x| < x_{lim} = \left( z^{2/3} - 1 \right)^{3/2}$$

принимает четыре значения (см. рис. 1). Соответственно, для ветви  $\eta = -1$  при  $z > 1$  существуют предельные значения

$$y(\pm x_{lim}) = \mp \sqrt{1 - z^{-2/3}}$$

при аномальном загибе ветви (по сравнению со случаем  $z < 1$ ).

При  $x = 0$  оба конденсата либо (для любого знака  $\eta$ ) имеют одинаковую плотность,  $y = 0$ , либо (при  $\eta = -1$ )

$$y = \pm \sqrt{1 - z^{-2}}, \quad (18)$$

т. е. возможны сателлитные состояния, если взаимодействие атомов с полем является достаточно слабым по сравнению с энергией отдачи  $\varepsilon_r = k^2/2m$  ( $z > 1$ , причем  $z \approx \varepsilon_r/2|A|$  при  $U_{ab} \approx U_{aa}, U_{bb}$ ). Если же взаимодействие атомов с полем сильное ( $z < 1$ ), то при  $|x| \ll 1$  (т. е. в случае

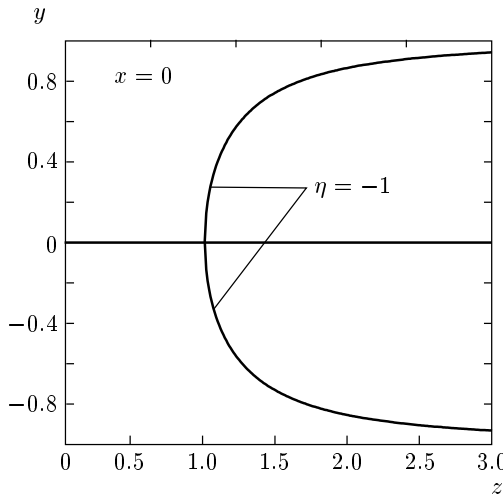


Рис. 2. Зависимость относительной разности населения,  $y$ , от параметра  $z$  (см. (15))

$|\varepsilon_b - \varepsilon_a - \omega_0| \leq \gamma \ll |A|$  есть решения только в окрестности центра ( $y = -x/(z + \eta)$ ).

Таким образом, из анализа функции  $x(y)$  видно, что, во-первых, при условии насыщения,  $|x| \ll 1$ , существуют четыре стационарных состояния, причем кроме обычных решений  $y \approx 0$  имеют место два сателлитных состояния, в которых населенности верхнего и нижнего уровней существенно различаются, во-вторых, вне области насыщения при  $|x| > x_{lim}$  существуют два стационарных состояния, а при  $|x| < x_{lim}$  снова четыре.

Интересно также проследить зависимость  $y(z)$  при  $x = 0$ : если  $z > 1$ , то на графике  $y(z)$  помимо  $y = 0$  возникает бифуркация (см. рис. 2), связанная с возможностью сателлитных состояний.

### 3. СОВМЕСТНЫЕ КОЛЕВАНИЯ КОНДЕНСАТОВ В ПОЛЕ ЛАЗЕРА

Полученное стационарное состояние является неустойчивым, если спектр элементарных возбуждений системы в этом состоянии содержит мнимую часть. Для выяснения роли взаимодействия между атомами прежде всего разобран случай идеального газа. Помимо этого рассмотрен вопрос об устойчивости в случае полного насыщения ( $\omega = \omega_0, N_a = N_b = N/2$ ) и в случае сателлитного состояния.

Вначале найдем систему уравнений, задающих спектр одночастичных возбуждений конденсатов. Запишем уравнения (3) для комплексных полей в

линейном приближении по амплитуде надконденсатных частиц в представлении ( $\mathbf{q}$  — импульс квазичастицы)

$$\begin{aligned} a_p &= \bar{a}_p \exp(-i\varepsilon t), \quad \mathbf{p} = \mathbf{p}_a \pm \mathbf{q}, \\ b_p &= \bar{b}_p \exp(-i\varepsilon t - i\omega t), \quad \mathbf{p} = \mathbf{p}_b \pm \mathbf{q}, \end{aligned}$$

в котором система (3) принимает вид замкнутой системы с постоянными коэффициентами (знаки векторов опущены):

$$\begin{aligned} i \frac{\partial \bar{a}_{p_a+q}}{\partial t} &= \left( \frac{(p_a + q)^2}{2m} - \varepsilon + \right. \\ &\quad \left. + 2\mu_{aa} + U_{ab}N_b \right) \bar{a}_{p_a+q} + \\ &\quad + \mu_{aa}\bar{a}_{p_a-q}^+ + (\mu_{ab} + A)\bar{b}_{p_b+q} + \mu_{ab}\bar{b}_{p_b-q}^+, \\ -i \frac{\partial \bar{a}_{p_a-q}^+}{\partial t} &= \left( \frac{(p_a - q)^2}{2m} - \varepsilon + \right. \\ &\quad \left. + 2\mu_{aa} + U_{ab}N_b \right) \bar{a}_{p_a-q}^+ + \\ &\quad + \mu_{aa}\bar{a}_{p_a+q} + \mu_{ab}\bar{b}_{p_b+q} + (\mu_{ab} + A)\bar{b}_{p_b-q}^+, \quad (19) \\ i \frac{\partial \bar{b}_{p_b+q}}{\partial t} &= \left( \frac{(p_b + q)^2}{2m} - \varepsilon - (\omega - \omega_0) + \right. \\ &\quad \left. + 2\mu_{bb} + U_{ab}N_a \right) \bar{b}_{p_b+q} + \\ &\quad + \mu_{bb}\bar{b}_{p_b-q}^+ + (\mu_{ab} + A)\bar{a}_{p_a+q} + \mu_{ab}\bar{a}_{p_a-q}^+, \\ -i \frac{\partial \bar{b}_{p_b-q}^+}{\partial t} &= \left( \frac{(p_b - q)^2}{2m} - \varepsilon - (\omega - \omega_0) + \right. \\ &\quad \left. + 2\mu_{bb} + U_{ab}N_a \right) \bar{b}_{p_b-q}^+ + \\ &\quad + \mu_{bb}\bar{b}_{p_b+q} + \mu_{ab}\bar{a}_{p_a+q} + (\mu_{ab} + A)\bar{a}_{p_a-q}^+. \end{aligned}$$

Здесь использованы обозначения  $\mu_{ik} = U_{ik}\sqrt{N_i N_k}$  и  $A = g_k^* c$  (фазу лазерного поля выбираем так, чтобы величина  $A$  была действительной и положительной).

В случае идеального газа, когда все  $U_{ik} = 0$ , уравнение на собственные значения системы (19) с учетом выражений (13) и (15) дает:

$$\begin{aligned} E_{1,2} &= -\frac{\mathbf{k} \cdot \mathbf{q}}{2m}y + \frac{q^2}{2m} - \frac{1}{2}\eta\sqrt{\delta\omega^2 + 4|A|^2} \pm \\ &\pm \frac{1}{2}\sqrt{\left(\delta\omega + \frac{\mathbf{k} \cdot \mathbf{q}}{m}\right)^2 + 4|A|^2}, \\ E_{3,4} &= -\frac{\mathbf{k} \cdot \mathbf{q}}{2m}y - \frac{q^2}{2m} + \frac{1}{2}\eta\sqrt{\delta\omega^2 + 4|A|^2} \pm \\ &\pm \frac{1}{2}\sqrt{\left(\delta\omega - \frac{\mathbf{k} \cdot \mathbf{q}}{m}\right)^2 + 4|A|^2}. \end{aligned}$$

Здесь

$$\delta\omega = \omega - \omega_0 + \frac{k^2}{2m}y.$$

При полном насыщении ( $\delta\omega = 0, y = 0$ ) получаем

$$\begin{aligned} E_{1,2} &= \left(\frac{q^2}{2m} - \eta|A|\right) \pm \sqrt{\left(\frac{\mathbf{k} \cdot \mathbf{q}}{2m}\right)^2 + |A|^2}, \\ E_{3,4} &= -\frac{q^2}{2m} + \eta|A| \pm \sqrt{\left(\frac{\mathbf{k} \cdot \mathbf{q}}{2m}\right)^2 + |A|^2}. \end{aligned}$$

Отсюда следует, что при заданном  $\eta$  у двух мод существует щель  $2|A|$  в спектре возбуждений при  $q = 0$ , а бесщелевые моды при  $A = 0$  и  $q \rightarrow 0$  дают звуковой закон дисперсии:

$$E(q) \sim c_s q,$$

где  $c_s = |\mathbf{k} \cdot \mathbf{q}|/2mq$  — скорость звука. Вдали от насыщения ( $|x| \gg 1, |y| \approx 1$  в (15)) при заданном  $\eta$  две ветви имеют щель порядка  $|\omega - \omega_0|$ , а остальные ветви по-прежнему бесщелевые.

Таким образом, в приближении идеального газа стационарное конденсатное состояние всегда устойчиво в указанном выше смысле.

В случае неидеального газа можно найти аналитическое выражение для спектра системы (19) при полном насыщении, предположив, что  $U_{aa} = U_{bb}$ :

$$\begin{aligned} E_{\pm}^2 &= (P^2 - \mu^2) + A(A + 2\mu_{ab}) + Q^2 \pm \\ &\pm 2\sqrt{(P^2 - \mu^2)Q^2 + (AP + \mu_{ab}(P - \mu))^2}, \quad (20) \end{aligned}$$

$$P = \frac{q^2}{2m} - \eta A + \mu, \quad Q = \frac{\mathbf{k} \cdot \mathbf{q}}{2m},$$

$$\mu = \frac{1}{2}U_{aa}N, \quad \mu_{ab} = \frac{1}{2}U_{ab}N.$$

Прежде всего рассмотрим длинноволновый предел ( $q \rightarrow 0$ ),

$$E_{\pm}^2(q) \approx E_{\pm}^2(0) + \frac{q^2}{2m}\Delta E,$$

где

$$\begin{aligned} E_{\pm}^2(0) &= \xi^2 - \mu^2 + A(A + 2\mu_{ab}) \pm 2A|\xi - \eta\mu_{ab}|, \\ \xi &= \mu - A\eta, \\ \Delta E &= 2\xi + \varepsilon_r \cos^2 \theta \pm \left( \frac{\xi^2 - \mu^2}{A|\xi - \eta\mu_{ab}|} \varepsilon_r \cos^2 \theta + \right. \\ &\quad \left. + 2A(A + \mu_{ab}) \operatorname{sign}(\xi - \eta\mu_{ab}) \right). \end{aligned} \quad (21)$$

Здесь  $\theta$  — угол между векторами  $\mathbf{k}$  и  $\mathbf{q}$ . Критичным в смысле устойчивости является  $E_-^2$ . В случае, когда выражение под знаком модуля в (21) положительно,  $\mu > \eta(\mu_{ab} + A)$ , получим

$$\begin{aligned} E_-^2(0) &= 2A(A - \mu + \mu_{ab})(1 + \eta), \\ \Delta E &= 2(\mu - \mu_{ab} - A(1 + \eta)) + \\ &\quad + \varepsilon_r \cos^2 \theta \left[ 1 - \frac{(A - 2\eta\mu)}{\mu - \eta(\mu_{ab} + A)} \right]. \end{aligned}$$

Отсюда видно, что существует неустойчивость в состоянии с  $\eta = 1$  при  $\mu > \mu_{ab} + A$  и в состоянии с  $\eta = -1$ ,

$$\Delta E = 2(\mu - \mu_{ab}) \left( 1 - \frac{1}{2} \frac{\varepsilon_r \cos^2 \theta}{\mu + \mu_{ab} + A} \right),$$

при  $\mu < \mu_{ab}$  (что совпадает с известным [6] условием неустойчивости бинарной смеси бозе-газов относительно пространственного расслоения ее компонент) или при

$$\varepsilon_r \cos^2 \theta > 2(\mu + \mu_{ab} + A),$$

т. е. при сильной отдаче неустойчивость развивается прежде всего в направлении импульса отдачи (соответствующий вид спектра (20) при  $\cos^2 \theta = 1$  см. на рис. 3).

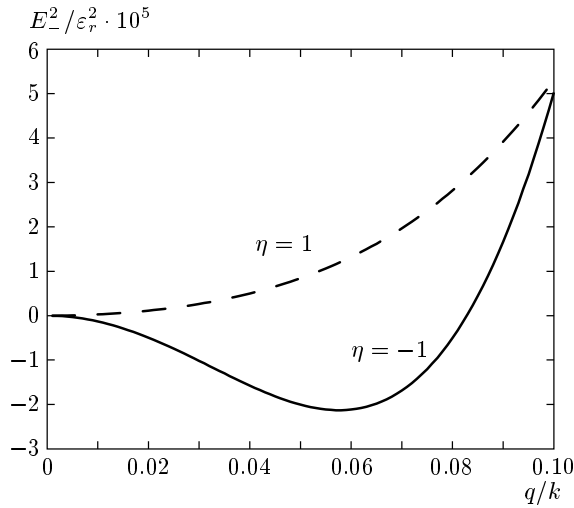
Обратный случай для  $\mu < \eta(\mu_{ab} + A)$  имеет смысл только при  $\eta = 1$  и не дает неустойчивости:

$$E_-^2(0) = 0,$$

$$\Delta E = 2(\mu + \mu_{ab}) \left( 1 + \frac{1}{2} \frac{\varepsilon_r \cos^2 \theta}{A + \mu_{ab} - \mu} \right) > 0.$$

Рассмотрим теперь случай поперечных (по отношению к вектору  $\mathbf{k}$ ) возбуждений, когда  $Q = 0$ :

$$\begin{aligned} E_{\pm}^2 &= \delta^2 + 2\mu\delta + A(A + 2\mu_{ab}) \pm \\ &\pm 2|A(\delta + \mu) + \mu_{ab}\delta|, \quad \delta = \frac{q^2}{2m} - \eta A. \quad (22) \end{aligned}$$



**Рис. 3.** Пример неустойчивого спектра (длинноволновый предел) в состоянии с  $\eta = -1$  при полном насыщении для  $\varepsilon_r > 2 (\mu + \mu_{ab} + A) = 0.43\varepsilon_r$ ,  $\mu : \mu_{ab} : A = 1 : 0.5 : 20$ . Масштаб по вертикальной оси для кривой  $\eta = 1$  уменьшен в 40 раз

Для  $E_-^2$  при

$$(A + \mu_{ab}) \left( \frac{q^2}{2m} - \eta A \right) + A\mu > 0$$

получим

$$\begin{aligned} E_-^2 = & \left( \frac{q^2}{2m} - A(1 + \eta) \right) \times \\ & \times \left( \frac{q^2}{2m} - A(1 + \eta) + 2(\mu - \mu_{ab}) \right). \end{aligned}$$

Видно, что в состоянии с  $\eta = -1$  неустойчивость возникает при уже полученном условии  $\mu < \mu_{ab}$ , а в состоянии с  $\eta = 1$  есть область неустойчивости,

$$2A - 2(\mu - \mu_{ab}) < \frac{q^2}{2m} < 2A,$$

с центром в точке

$$\frac{q_{min}^2}{2m} = 2A - (\mu - \mu_{ab}),$$

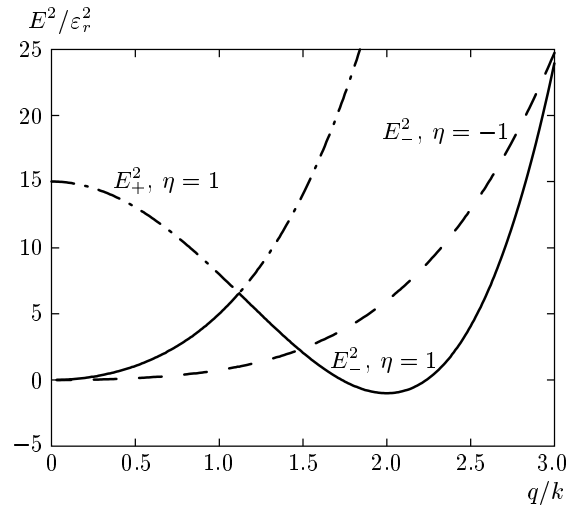
где

$$E_-^2(q_{min}) = -(\mu - \mu_{ab})^2.$$

Кроме того, при  $q = 0$  в этом состоянии возникает неустойчивость, если  $\mu > A + \mu_{ab}$  (однако всегда  $E_-^2(q_{min}) < E_-^2(0)$ ). Характерный для данного случая вид спектра (20) приведен на рис. 4.

При

$$(A + \mu_{ab}) \left( \frac{q^2}{2m} - \eta A \right) + A\mu < 0$$



**Рис. 4.** Пример неустойчивого спектра поперечных возбуждений в состоянии с  $\eta = 1$  при полном насыщении для  $Q = 0$ ,  $A = 2.5\varepsilon_r$ ,  $\mu : \mu_{ab} : A = 3 : 1 : 5$ . Масштаб по вертикальной оси для кривой  $\eta = -1$  уменьшен в 4 раза. Излом на кривой  $E_-^2$ ,  $\eta = 1$  соответствует нулю модуля в (22)

имеем

$$\begin{aligned} E_-^2 = & \left( \frac{q^2}{2m} + A(1 - \eta) \right) \times \\ & \times \left( \frac{q^2}{2m} + A(1 - \eta) + 2(\mu + \mu_{ab}) \right), \end{aligned}$$

откуда следует, что оба состояния с  $\eta = \pm 1$  устойчивы.

Наконец, рассмотрим вопрос об устойчивости сателлитов при  $U_{aa} = U_{bb}$ . Вдали от насыщения ( $|\omega - \omega_0| \gg A, \mu, \mu_{ab}$ ) можно пренебречь неидеальностью газа и, как мы убедились выше, конденсаты устойчивы. В области насыщения,  $|x| \ll 1$ , сателлиты имеются только в состоянии с  $\eta = -1$ . Для простоты ограничимся случаем, когда плотность одного конденсата много меньше, чем другого, для определенности,  $N_b \ll N_a$  ( $y \approx -1$ ). Оказывается, что можно получить аналитическое выражение спектра элементарных возбуждений в приближении тяжелых атомов и сильного, по сравнению с отдачей, взаимодействия между ними, формально считая, что  $k \ll q$  (отметим, что при таких условиях нельзя переходить к длинноволновому пределу  $q \rightarrow 0$ ):

$$\begin{aligned} E_\pm^2 = & \frac{1}{2} \left\{ W^2 + V^2 + 2A^2 - \mu^2 \pm \left[ (W^2 - V^2 - \mu^2)^2 + \right. \right. \\ & \left. \left. + 4A^2 ((W + V)^2 - \mu^2) \right]^{1/2} \right\}, \quad (23) \end{aligned}$$

$$W = \frac{q^2}{2m} + \frac{1}{2} (3\mu - \mu_{ab}) + \sqrt{\frac{1}{4} (\mu - \mu_{ab})^2 + A^2},$$

$$V = \frac{q^2}{2m} - \frac{1}{2} (\mu - \mu_{ab}) + \sqrt{\frac{1}{4} (\mu - \mu_{ab})^2 + A^2},$$

где  $\mu = U_{aa}N$ ,  $\mu_{ab} = U_{ab}N$ . Переписав выражение (23) в виде

$$E_{\pm}^2 = \frac{1}{2} \left\{ W^2 + V^2 + 2A^2 - \mu^2 \pm \right.$$

$$\left. \pm \left[ (W^2 + V^2 + 2A^2 - \mu^2)^2 - \right. \right.$$

$$\left. \left. - 4(A^2 - WV)^2 + 4\mu^2 V^2 \right]^{1/2} \right\},$$

можно непосредственно указать область возможных отрицательных значений  $E_-^2$ ,

$$-4(A^2 - WV)^2 + 4\mu^2 V^2 > 0.$$

Отсюда

$$\mu V > (WV - A^2). \quad (24)$$

Заметим, что при  $\mu \approx \mu_{ab}$  условие (24) никогда не выполняется и сателлитное состояние устойчиво.

#### 4. ЗАКЛЮЧЕНИЕ

Главным результатом данной работы является получение стационарного решения уравнений движения единой когерентной системы бозе-конденсатов двухуровневых атомов и лазерного поля большой интенсивности. При этом установлена зависимость плотностей конденсатов от частоты Раби и отстройки от полного насыщения. Проведен анализ устойчивости системы относительно возникновения мнимой части в спектре элементарных возбуждений, что приводит к экспоненциальному росту колебаний, нагреву системы и распаду конденсатов либо к переходу системы в одно из устойчивых состояний (вопрос об эволюции системы после распада нестабильного стационарного состояния является предметом отдельного исследования).

Условие применимости теории по температуре имеет вид

$$T \ll T_c \sim \frac{\hbar^2}{m} n^{2/3}, \quad n = \min(N_a, N_b).$$

Отметим, что в сателлитном состоянии, когда плотности конденсатов существенно различаются, при  $T > T_c$  конденсат с меньшей плотностью превратится в надконденсатные частицы, дополнительные по отношению к конденсату с большей плотностью. Вопрос о том, разрушится ли этот конденсат при добавлении в него «инородных» надконденсатных частиц, представляет самостоятельный интерес.

Авторы признательны Ю. М. Кагану и С. Н. Бурмистрову за ценные замечания. Работа выполнена при поддержке грантов РФФИ и ИНТАС.

#### ЛИТЕРАТУРА

1. M. H. Anderson, J. R. Ensher, M. R. Matthews et al., *Science* **269**, 198 (1995); K. B. Davis, M.-O. Mewes, M. R. Andrews et al., *Phys. Rev. Lett.* **75**, 3969 (1995); C. C. Bradley, C. A. Sackett, and R. G. Hulet, *Phys. Rev. Lett.* **78**, 985 (1997); D. G. Fried, Th. C. Killian, L. Willmann et al., *Phys. Rev. Lett.* **81**, 3811 (1998).
2. D. S. Hall, M. R. Matthews, J. R. Ensher et al., *Phys. Rev. Lett.* **81**, 1539 (1998).
3. Tin-Lin Ho and V. B. Shenoy, *Phys. Rev. Lett.* **77**, 3276 (1996); M. Trippenbach, K. Goral, K. Rzazewski et al., *J. Phys. B* **33**, 4017 (2000).
4. Th. Busch, J. I. Cirac, V. M. Perez-Garcia, and P. Zoller, *Phys. Rev. A* **56**, 2978 (1997); R. Graham and D. Walls, *Phys. Rev. A* **57**, 484 (1998).
5. H. Pu and N. P. Bigelow, *Phys. Rev. Lett.* **80**, 1134 (1998).
6. P. Ao and S. T. Chui, *Phys. Rev. A* **58**, 4836 (1998); E. Timmermans, *Phys. Rev. Lett.* **81**, 5718 (1998); H. Shi, Wei-Mou Zheng, and Siu-Tat Chui, *Phys. Rev. A* **61**, 063613 (1998); R. A. Barankov, *Phys. Rev. A* **66**, 013612 (2002).
7. J. Ruostekoski, M. J. Collett, R. Graham, and D. Walls, *Phys. Rev. A* **57**, 511 (1998).
8. M. O. Oktel and L. S. Levitov, *Phys. Rev. Lett.* **83**, 6 (1999).